

سنگنگاری و زمین‌شیمی سنگ‌های ماقمایی منطقه شمال کلاته‌شب (شرق سربیشه)، شرق ایران

فاطمه یاری^{*}، محمدحسین زرین‌کوب، سیدسعید محمدی

گروه زمین‌شناسی، دانشکده علوم، دانشگاه بیرجند، بیرجند، ایران

(دریافت مقاله: ۹۸/۶/۱۷، نسخه نهایی: ۹۸/۱۰/۲۱)

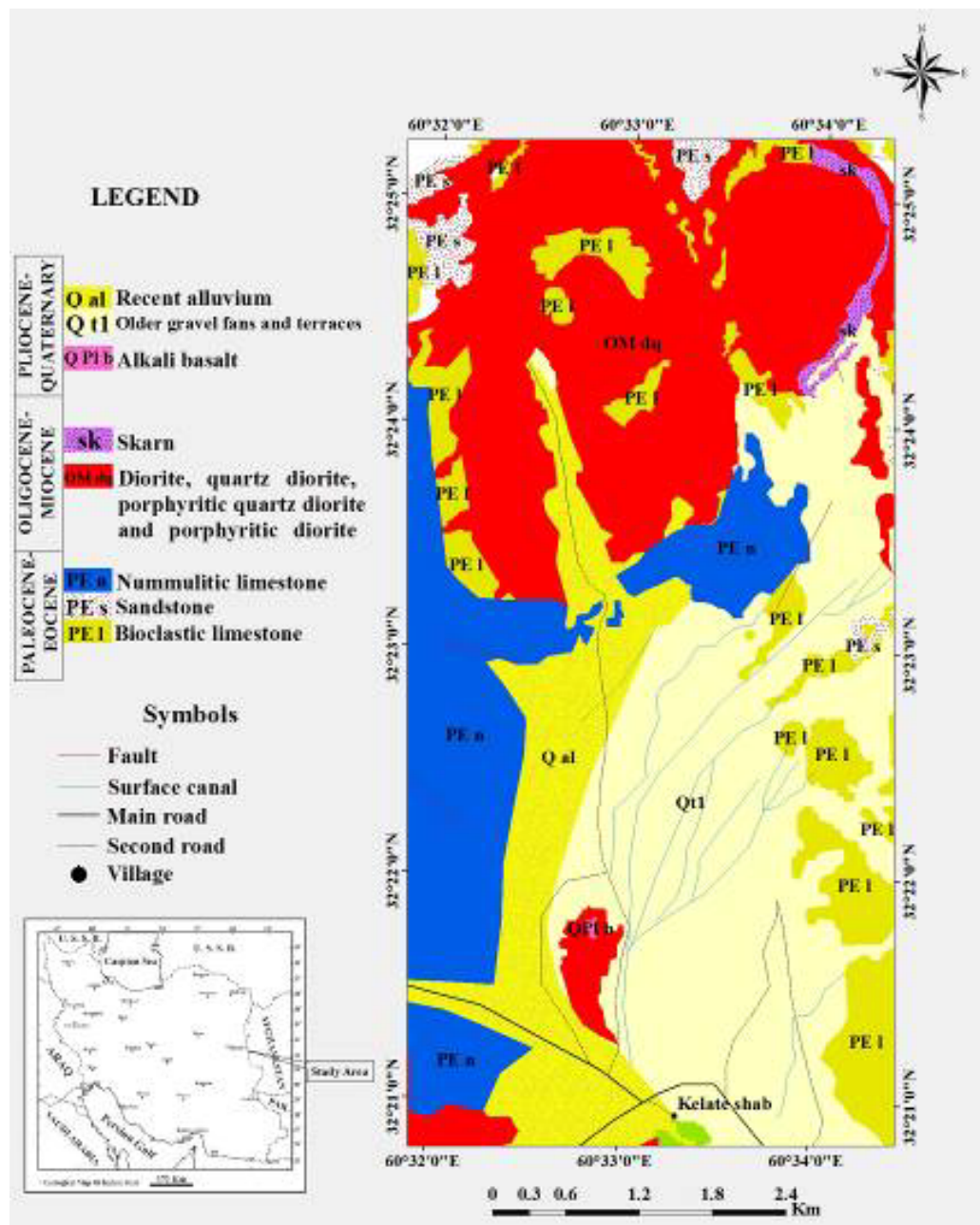
چکیده: منطقه مورد بررسی در ۱۰۵ کیلومتری شرق سربیشه در استان خراسان جنوبی و در پهنه جوش خورده سیستان قرار دارد. سنگ‌های ماقمایی این منطقه به صورت توده‌های عمیق و نیمه عمیق شامل دیوریت، کوارتز دیوریت، کوارتز دیوریت پورفیری و دیوریت پورفیری با سن الیگو میوسن رخنمون دارند. این سنگ‌ها دارای بافت‌های دانه‌ای، پورفیری با زمینه ریزدانه، افیتیک، بین‌دانه‌ای و گلومروپورفیری هستند. کانی‌های سازنده سنگ‌هایی بررسی شده شامل پلاژیوکلаз، هورنبلند، کوارتز، بیوتیت، کلینوپیروکسن، آپاتیت، زیرکن و اسفن هستند. ماقمای سازنده این سنگ‌ها دارای ماهیت آهکی قلیایی پ TASIM پایین است. نمونه‌ها غنی شدگی نسبی از عناصر خاکی نادر سبک و تهی شدگی از عناصر خاکی نادر سنگین را نشان می‌دهند. ناهنجاری منفی عناصر P، Ti و Nb و ناهنجاری مثبت K و Cs در این نمونه‌ها نشانگر تشابه آن‌ها با فعالیت ماقمایی کمان‌های آتشفسانی است. غنی شدگی در عناصر سنگ دوست بزرگ یون نسبت به عناصر باشدت میدان بالا نشان دهنده ماقمای وابسته به مناطق فرورانش است.

واژه‌های کلیدی: کوارتز دیوریت پورفیری؛ کلاته‌شب؛ الیگو میوسن؛ پهنه جوش خورده سیستان.

ریخت شده است که طی بسته شدن اقیانوس سیستان به عنوان باریکه‌ای از اقیانوس نئوتیس که پهنه‌های قاره‌ای افغان و لوت را زم جدا می‌کرده، در اواخر کرتاسه-پالئوسن جای‌گیر شده است. فعالیت ماقمایی رخداده در بخش شمالی پهنه سیستان را می‌توان به پنج مرحله کرتاسه پیشین، کرتاسه پسین، اوسن پیشین، اوسن میانی-الیگوسن و میوسن-کواترنری تقسیم کرد که هر یک دارای مشخصه‌های زمین‌شیمی‌ای ویژه‌ای هستند [۳].

مقدمه

منطقه مورد بررسی در ۱۷۰ کیلومتری جنوب شرق بیرجند، ۱۰۵ کیلومتری شرق سربیشه، در شمال روستای کلاته‌شب قرار دارد. این منطقه به عنوان بخشی از نقشه زمین‌شناسی ۱:۱۰۰۰۰۰ [۱]، بین طول‌های جغرافیایی ۲۹°۶۰' و ۳۴°۶۰' شرقی و عرض‌های جغرافیایی ۲۱°۳۲' و ۲۶°۳۲' شمالی در استان خراسان جنوبی و در بخش شمالی زمین درز سیستان [۲] واقع است (شکل ۱). باور کلی بر آن است که پهنه جوش خورده سیستان یک مجموعه بهم افزوده و دگر



شکل ۱ نقشه
شناسی

مورد بررسی (برگرفته از نقشه ۱:۱۰۰۰۰۰ ماهیرود با تغییرات).

بالایی می‌دانند که در اثر آب آزاد شده از فرورانش، اکسید و ذوب شده است. دایک‌های شمال و غرب زاهدان با سن الیگو-میوسن در مجموعه رسوب‌های فلیشی با سن ائوسن و بخشی نیز در توده گرانیتی کنار مجموعه فلیشی (گرانیت زاهدان) در پهنه زمین درز سیستان بروند دارند. خاستگاه این سنگ‌ها گوشه‌ای غنی شده و گارنت لرزولیتی بوده است. توده‌های نفوذی جنوب معین آباد (زیرکوه قاین) دارای ماهیت قلیایی ضعیف با آلومینیوم متوسط هستند که در یک موقعیت زمین-

سن سنجی اکلوژیت‌های پهنه سیستان ۷۴ تا ۸۰ میلیون سال را نشان می‌دهد. بررسی‌های زمین شیمیایی و زمین ساختی ماقمایی توده گرانیت‌وییدی کوه گپدان با برونزد در فلیش‌های ائوسن نشان می‌دهد که پیدایش آن‌ها به احتمال بسیار با فرورانش پوسته اقیانوسی نشوتنیس و برخورد قطعه‌های لوت و سیستان در ارتباط بوده است. سن فعالیت ماقمایی مجموعه آذرین شرق ایران را ائوسن تا الیگومیوسن تعیین کرده‌اند و خاستگاه فعالیت آتشفسانی با ویژگی‌های نوع کرانه قاره را گوشه

جرمی پلاسمای جفت شده القایی (ICP-MS) برای عناصر جزئی و نادر در آزمایشگاه Acme کانادا (کد ۴A4B) انجام شد.

زمین‌شناسی منطقه

قدیمی‌ترین واحد سنگی در منطقه شمال کلاته شب ماسه سنگ و سنگ آهک‌های با سن پالئوسن- ائوسن [۱۴] هستند. هجوم توده‌های عمیق و نیمه عمیق گذازه‌ای و آذرآواری برونزد نموده [۵] و گاهی باعث کانسارسازی شده است [۱۲، ۱۳]. نفوذ توده‌های عمیق و نیمه عمیق با سن الیگومیوسن [۱] به درون واحدهای کربناتی در شمال کلاته شب باعث اسکارن‌زایی شده است. در این پژوهش سنگ‌شناسی و زمین‌شیمی توده‌های عمیق و نیمه عمیق نام برده بررسی شده و محیط زمین ساختی آن‌ها تعیین شده است.

فعالیت ماغمای ائوسن- الیگوسن در بخش شمالی پهنه سیستان به صورت توده‌های عمیق، نیمه عمیق، گدازه‌ای و آذرآواری برونزد نموده [۵] و گاهی باعث کانسارسازی شده است [۱۲-۱۴]. فعالیت ماغمای ائوسن در راستای کوه رهنه‌گی و کوه فغان در لبه شمالی قطعه‌های لوت ایران مرکزی، از فعالیت کواترنری سامانه‌های گسلی متتمرکز شده است [۱۱-۱۴].

فعالیت ماغمای ائوسن- الیگوسن در بخش شمالی پهنه سیستان به صورت توده‌های عمیق، نیمه عمیق، گدازه‌ای و آذرآواری برونزد نموده [۵] و گاهی باعث کانسارسازی شده است [۱۲، ۱۳]. نفوذ توده‌های عمیق و نیمه عمیق با سن الیگومیوسن [۱] به درون واحدهای کربناتی در شمال کلاته شب باعث اسکارن‌زایی شده است. در این پژوهش سنگ‌شناسی و زمین‌شیمی توده‌های عمیق و نیمه عمیق نام برده بررسی شده و محیط زمین ساختی آن‌ها تعیین شده است.

روش پژوهش

این پژوهش بر پایه برداشت‌های صحرایی، بررسی مقطع نازک و تجزیه شیمیایی ۹ نمونه سنگی با کمترین دگرسانی به روش طیف سنجی نشری پلاسمای جفت شده القایی (ICP-ES) برای عناصر اصلی و طیف سنجی



ب



الف



ث



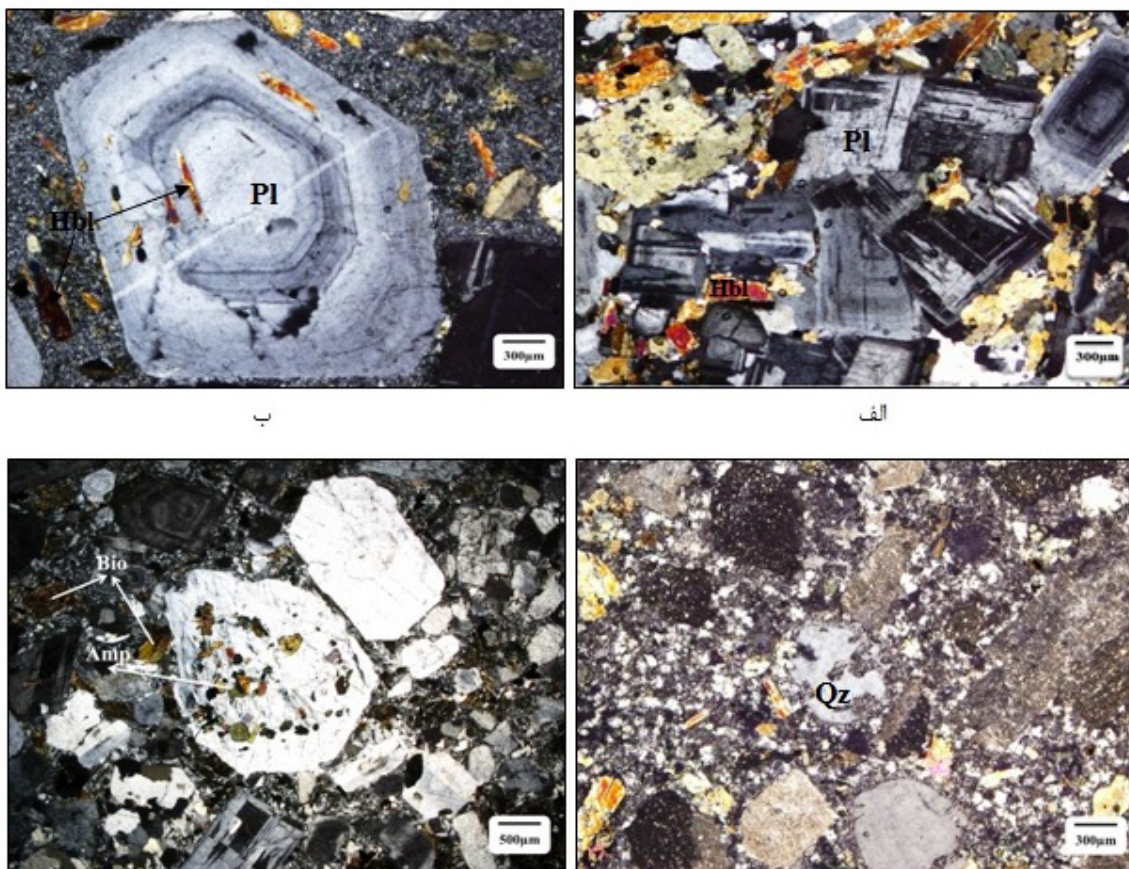
پ

شکل ۲ تصاویر روابط صحرایی بین واحدهای سنگی منطقه شمال کلاته شب: الف) حضور توده دیوریتی بین واحدهای آهک و ماسه سنگ ارغوانی، ب) حضور زبانه دیوریتی درون واحد آهک منطقه، پ) حضور توده کوارتز دیوریتی در مرز با توده دیوریت پورفیری و ت) دایک‌های دیوریت پورفیری در توده کوارتز دیوریت پورفیری.

سنگنگاری

کوارتز دیوریت: بافت‌های دانه‌ای، ریزدانه‌ای، بین‌دانه‌ای و پوئی کیلیتیک در این دیوریت بافت‌های دانه‌ای، ریزدانه‌ای، بین‌دانه‌ای و پوئی کیلیتیک نشان دهنده تبلور کانی هورنبلند پیش از پلاژیوکلاز است. اگر مگما دارای آب باشد، آمفیبیول پیش از پلاژیوکلاز متبلور می‌شود. تنها در فشار بخار آب حدود ۲ کیلوبار و دمای ۹۲۰ درجه سانتی‌گراد، آمفیبیول و پلاژیوکلاز همزمان متبلور می‌شوند [۱۸]. پلاژیوکلازهای شکل‌دار با ماکل پلی سنتیتیک، پریکلین، آلبیتی و با منطقه‌بندی نوسانی (شکل ۳ ب) ۷۰ تا ۸۵ درصد حجم سنگ را تشکیل می‌دهند. منطقه‌بندی نوسانی می‌تواند در اثر تغییر ترکیب طی رشد یک پلاژیوکلاز رخ دهد [۱۹]. هورنبلندهای شکل‌دار و نیمه شکل‌دار ۱۰ تا ۲۵ درصد کانی‌های اصلی این سنگ را می‌سازند. کوارتزهای بی‌شکل ۵ تا ۱۰ درصد و بیوتیت‌ها با مقادیر کم (۱ تا ۲ درصد) حضور دارند.

دیوریت: بافت‌های دانه‌ای، ریزدانه‌ای و پوئی کیلیتیک در این واحد سنگی رایج است. بلورهای شکل‌دار تا نیمه شکل‌دار پلاژیوکلاز (الیگوکلاز- آندزین) با ماکل پلی سنتیتیک، پریکلین (شکل ۳ الف) و در برخی موارد دارای منطقه‌بندی از سازندگان اصلی هستند که ۷۰ تا ۸۵ درصد حجم سنگ را تشکیل می‌دهند. هورنبلندهای مهم‌ترین کانی فرومیزین این سنگ است که بیشتر شکل‌دار و گاهی نیمه شکل‌دار است و حدود ۱۰ تا ۲۵ درصد در سنگ وجود دارد. مشخصه بیشتر سنگ‌های دیوریتی حضور کانی‌های آبدار مانند هورنبلنده است [۱۷]. بیوتیت نیز به صورت شکل‌دار ۲-۱ درصد حجم سنگ را تشکیل می‌دهد. کانی‌های فرعی شامل آپاتیت، زیرکن و اسفن بوده و کانی‌های رسی، کربنات، کلریت، اپیدوت و کانی‌های کدر از جمله کانی‌های ثانویه در این واحد سنگی هستند.



شکل ۳ الف: حضور پلاژیوکلاز با ماکلهای پریکلین، پلی سنتیتیک و دارای منطقه‌بندی در دیوریت شمال کلاته شب، ب) منطقه‌بندی نوسانی در پلاژیوکلازهای موجود در دیوریت پورفیری، پ) کوارتزهای گردشده و خلیجی در کوارتز دیوریت پورفیری شمال کلاته شب و ت) حضور آمفیبیول

(هورنبلند) و بیوتیت در دیوریت پورفیری شمال کلاته شب. تصویرها در نور قطبیده متقطع، XPL، ثبت شده‌اند. (نشانه‌های اختصاری برگرفته از مرجع [۲۱] هستند: Pl-پلازیوکلاز؛ Hbl-هورنبلند؛ Qz-کوارتز؛ Bio-بیوتیت؛ Amp-آمفیبول).

صورت شکل‌دار تا حدود ۲۵ درصد حجم درشت بلورها را تشکیل می‌دهند. آمفیبول‌ها گاهی به کلریت و بیوتیت دگرسان شده‌اند. بیوتیتها تا اندازه‌ای کلریتی شده‌اند (شکل ۳ ت). فراوانی کانی‌های آبدار چون هورنبلند و بیوتیت بیانگر آبدار بودن ماقمای مادر حد بواسطه آنهاست [۲۱]. کانی‌های آپاتیت، زیرکن و اسفن فرعی و کانی‌های کدر، کلریت، کانی‌های رسی، کربنات، اپیدوت، زوئیزیت و کلینوزوئیزیت از کانی‌های ثانویه هستند.

زمین‌شیمی

نتایج تجزیه شیمیایی نمونه‌های مورد بررسی در جدول ۱ آورده شده است [۲۲]. دیده می‌شود که مقدار SiO_2 در نمونه‌ها از ۵۸,۴۳ تا ۶۵,۹۰ درصد وزنی متغیر است و نمونه‌ها در نمودار سیلیس نسبت به اکسیدهای قلیایی (TAS) [۲۳] در گستره دیوریت و کوارتز دیوریت قرار می‌گیرند (شکل ۴)، بر پایه نمودار ایروین و باراگار [۲۴]. سنگ‌های عمیق و نیمه عمیق منطقه کلاته شب در گستره نیمه قلیایی قرار دارند (شکل ۵). بر اساس نمودار K_2O نسبت به SiO_2 [۲۵]، سنگ‌های منطقه در گستره پتاسیم پایین (شکل ۶) هستند. مقدار Rb در نمونه‌های منطقه از ۱۷,۶ ppm تا ۳۲,۳ ppm متغیر بوده که مقدار کم آن نشان دهنده نبود فلدوپار پتاسیم در نمونه‌هاست.

کانی‌های فرعی شامل آپاتیت، زیرکن و اسفن بوده و کانی‌های دگرسانی شامل اپیدوت، کربنات، کانی رسی و کلریت هستند. کوارتز دیوریت پورفیری: این سنگ‌ها دارای بافت پورفیری، پوئی کیلیتیک و گلومروپورفیری هستند. پلازیوکلازهای شکل-دار (الیگوکلاز- آندزین) بیشترین حجم درشت بلورها (۶۰ تا ۸۰ درصد) را تشکیل می‌دهند و دارای ماکل پریکلین، آلبیتی و منطقه‌بندی هستند. هورنبلند ۲۰ تا ۳۰ درصد و بیوتیت ۱ تا ۲ درصد به صورت شکل‌دار هستند. کوارتز به صورت ریز دانه و بی‌شکل در زمینه و همچنین به صورت درشت بلورهای خلیجی و گرد شده وجود دارد (شکل ۳ پ). خلیج شدگی‌ها در نتیجه خوردگی ماقمایی (بازجذب و انحلال) و ناپایداری بلور در برخورد با مذاب ایجاد می‌شوند [۲۰]. کلینوپیروکسن نیز به صورت شکل‌دار کمتر از ۱ درصد حجم سنگ را تشکیل می‌دهد. کانی‌های فرعی شامل آپاتیت، زیرکن و اسفن بوده و کانی‌های ثانویه نیز شامل کانی کدر، کلریت، کانی رسی، کربنات و اپیدوت هستند.

دیوریت پورفیری: بافت این سنگ‌ها پورفیری، پوئی کیلیتیک و گلومروپورفیری بوده و دارای زمینه دانه ریز دربردارنده پلازیوکلاز، کوارتز و هورنبلند هستند. پلازیوکلازها به صورت شکل‌دار بیشتر حجم درشت بلورها (۷۰ تا ۸۰ درصد) را تشکیل داده‌اند. هورنبلند، بیوتیت و کلینوپیروکسن نیز به

جدول ۱ نتایج تجزیه شیمیایی نمونه‌های منطقه کلاته شب (عناصر اصلی بر حسب درصد وزنی و عناصر نادر بر حسب گرم در تن)

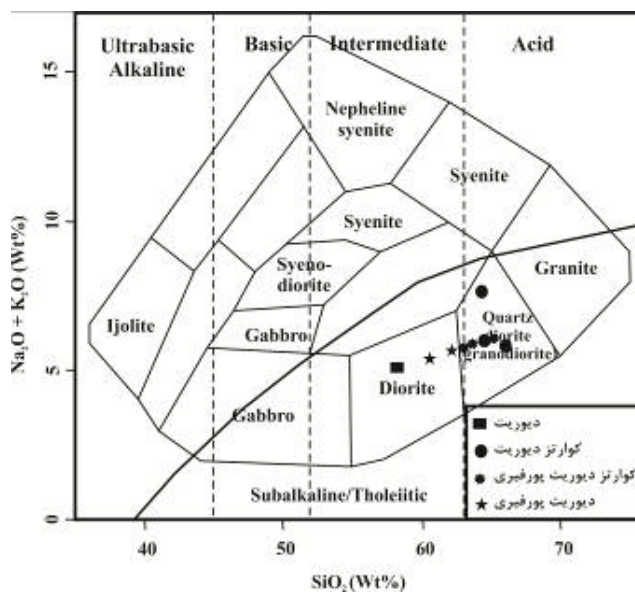
نمونه	013-IR-Y-26	013-IR-Y-28	013-IR-Y-34.1	013-IR-Y-54	013-IR-Y-61	013-IR-Y-70	013-IR-Y-73	013-IR-Y-110	M_9^*	
نوع سنگ	کوارتز دیوریت	دیوریت	کوارتز دیوریت	دیوریت	کوارتز دیوریت	کوارتز دیوریت	دیوریت	کوارتز دیوریت	کوارتز دیوریت	
موقعیت نمونه	X	۶۰,۰۳۲/۳۵,۹ [〃]	۶۰,۰۳۲/۲۸,۷ [〃]	۶۰,۰۳۲/۹,۳ [〃]	۶۰,۰۳۳/۲۶,۷ [〃]	۶۰,۰۳۳/۱۲,۹ [〃]	۶۰,۰۳۳/۲۹,۸ [〃]	۶۰,۰۳۳/۵۱,۰ [〃]	۶۰,۰۲۲/۵۶,۹ [〃]	
	Y	۳۲,۰۲۲/۲۰,۲ [〃]	۳۲,۰۲۳/۲۰,۲ [〃]	۳۲,۰۲۳/۵,۰ [〃]	۳۲,۰۲۴/۵,۲,۸ [〃]	۳۲,۰۲۴/۵۱,۲ [〃]	۳۲,۰۲۳/۵۱,۳ [〃]	۳۲,۰۲۴/۱۲,۹ [〃]	۳۲,۰۲۴/۱,۱ [〃]	
SiO_2	۶۲,۸۶	۵۸,۴۳	۶۵,۹۰	۶۲,۲۱	۶۵,۱۲	۶۳,۶۴	۶۰,۴۳	۶۴,۵۳	۶۴,۳۱	
TiO_2	۰,۴۴	۰,۵۵	۰,۳۴	۰,۴۶	۰,۴۰	۰,۴۵	۰,۵۲	۰,۴۰	۰,۴۵	
Al_2O_3	۱۶,۲۵	۱۶,۱۱	۱۷,۵۰	۱۶,۷۳	۱۶,۴۹	۱۵,۹۰	۱۶,۶۳	۱۶,۵۹	۱۶,۳۹	
Fe_2O_3^t	۴,۲۴	۶,۳۶	۲,۹۳	۴,۳۰	۳,۵۳	۴,۲۳	۵,۱۴	۳,۸۲	۳,۹۸	
MnO	۰,۰۸	۰,۱۶	۰,۰۶	۰,۰۵	۰,۰۶	۰,۰۶	۰,۰۹	۰,۰۶	۰,۰۷	
MgO	۳,۳۸	۵,۱۰	۱,۸۶	۲,۳۵	۲,۵۰	۳,۴۴	۴,۱۵	۲,۸۸	۳,۰۲	
CaO	۵,۱۸	۶,۴۱	۵,۲۹	۵,۳۸	۴,۹۳	۵,۴۶	۶,۲۱	۵,۲۰	۵,۱۹	
Na_2O	۴,۶۶	۴,۱۴	۵,۲۱	۴,۷۴	۵,۱۳	۴,۷۷	۴,۶۶	۴,۹۹	۴,۸۴	
K_2O	۰,۸۴	۰,۸۷	۰,۵۰	۰,۶۸	۰,۷۰	۰,۸۳	۰,۶۶	۰,۷۷	۲,۵	
P_2O_5	۰,۰۹	۰,۰۹	۰,۰۷	۰,۰۹	۰,۰۹	۰,۰۹	۰,۱۰	۰,۰۹	۰,۱۳	
(L.O.I)	مواد فوار	۱,۸	۱,۶	۰,۲	۱,۸	۰,۹	۰,۹	۱,۲	۰,۵	۰,۷

مجموع	۹۹,۸۴	۹۹,۷۸	۹۹,۸۷	۹۹,۸۱	۹۹,۸۵	۹۹,۸۳	۹۹,۸۱	۹۹,۸۴	۹۹,۸۲
-------	-------	-------	-------	-------	-------	-------	-------	-------	-------

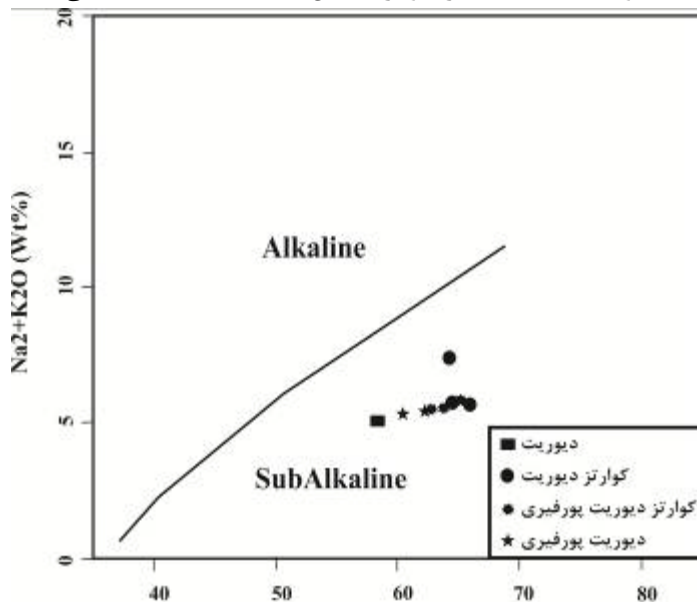
ادامه جدول ۱

نمونه	013-IR-Y-26	013-IR-Y-28	013-IR-Y-34.1	013-IR-Y-54	013-IR-Y-61	013-IR-Y-70	013-IR-Y-73	013-IR-Y-110	M _{9*}
Ba	۹۷	۱۱۸	۸۲	۹۲	۱۰۴	۱۰۲	۹۵	۹۶	۱۶۶
Be	۱	۱	۱	۱	۱	۱	۱	۱	۱
Rb	۲۶,۷	۳۲,۳	۱۷,۶	۳۰,۲	۲۴,۳	۳۰,۳	۲۲,۰	۲۶,۵	۲۰,۴
Ta	۰,۱	۰,۱	۰,۱	۰,۱	۰,۱	۰,۱	۰,۱	۰,۱	۰,۱
Sr	۴۵۴,۹	۳۹۵,۱	۴۸۵,۵	۶۴۳,۲	۴۴۸,۵	۴۴۲,۲	۴۷۴,۰	۴۸۵,۳	۴۸۶,۸
Y	۹,۰	۱۷,۳	۶,۶	۹,۰	۸,۰	۹,۴	۱۰,۲	۸,۲	۹,۵
Zr	۹۰,۱	۸۴,۵	۱۸۵,۳	۹,۹	۲۲۰,۴	۸۸,۵	۸۴,۳	۸۱,۲	۹۷,۲
Nb	۱,۵	۱,۹	۱,۱	۱,۴	۱,۶	۱,۴	۱,۴	۱,۳	۱,۵
Th	۱,۱	۰,۹	۰,۶	۰,۹	۱,۰	۱,۰	۱,۳	۰,۹	۱,۸
Ga	۱۵,۹	۱۷,۲	۱۵,۹	۱۶,۱	۱۵,۷	۱۵,۲	۱۵,۸	۱۴,۸	۱۶,۸
Ni	۳۶	۴۹	۲۰	۳۴	۲۳	۳۹	۳۷	۳۵	۳۷
Sc	۱۱	۲۱	۷	۱۲	۹	۱۲	۱۵	۱۰	۱۱
V	۸۵	۱۳۴	۵۱	۸۹	۷۰	۹۰	۱۱۷	۷۵	۹۷
Hf	۲,۴	۲,۳	۴,۲	۲,۶	۵,۳	۲,۶	۲,۴	۲,۳	۲,۷
Cs	۰,۹	۳,۰	۱,۵	۲,۲	۱,۹	۲,۷	۱,۶	۲,۰	۱,۰
Co	۱۳,۶	۱۹,۴	۷,۳	۱۲,۲	۱۰,۱	۱۴,۳	۱۷,۲	۱۱,۴	۱۳,۸
W	۰,۵	۰,۵	۰,۵	۰,۵	۰,۵	۰,۵	۰,۵	۰,۵	۰,۶
U	۰,۴	۰,۳	۰,۳	۰,۲	۰,۳	۰,۳	۰,۳	۰,۴	۰,۴
Sn	۱	۱	۱	۱	۱	۱	۱	۱	۱
La	۴,۷	۴,۴	۲,۸	۴,۱	۴,۱	۴,۷	۴,۸	۴,۲	۵,۵
Ce	۱۰,۳	۱۱,۷	۶,۶	۹,۲	۹,۳	۱۰,۷	۱۱,۱	۹,۶	۱۴,۰
Pr	۱,۳۹	۱,۸۹	۰,۹۱	۱,۲۷	۱,۳۶	۱,۴۹	۱,۵۲	۱,۳۰	۱,۸۱
Nd	۶,۳	۹,۶	۴,۴	۵,۷	۶,۰	۷,۱	۷,۴	۵,۵	۷,۶
Sm	۱۵,۰	۲,۷۳	۱,۱۵	۱,۴۵	۱,۴۹	۱,۷۴	۱,۷۴	۱,۴۳	۱,۷۸
Eu	۰,۵۳	۰,۷۱	۰,۳۹	۰,۴۹	۰,۵۱	۰,۵۶	۰,۶۱	۰,۵۵	۰,۶۳
Gd	۱,۷۷	۳,۰	۱,۲۷	۱,۶۴	۱,۶۹	۱,۸۶	۲,۰۴	۱,۵۸	۱,۹۵
Tb	۰,۲۶	۰,۰۵	۰,۲۰	۰,۲۶	۰,۲۷	۰,۳۱	۰,۳۱	۰,۲۴	۰,۳۲
Dy	۱,۶۶	۲,۰۳	۱,۱۲	۱,۵۴	۱,۴۵	۱,۷۶	۱,۸۹	۱,۳۵	۱,۷۰
Ho	۰,۳۲	۰,۶۷	۰,۲۵	۰,۳۴	۰,۲۸	۰,۳۷	۰,۳۹	۰,۲۸	۰,۳۲
Er	۰,۸۴	۱,۹۲	۰,۷۶	۰,۹۷	۰,۷۷	۱,۰۲	۱,۰۹	۰,۸۲	۰,۷۷
Tm	۰,۱۵	۰,۲۸	۰,۱۱	۰,۱۴	۰,۱۱	۰,۱۵	۰,۱۶	۰,۱۲	۰,۱۴
Yb	۰,۸۸	۱,۸۶	۰,۷۴	۰,۹۰	۰,۷۹	۰,۹۸	۱,۰۶	۰,۷۹	۰,۹۱
Lu	۰,۱۵	۰,۲۸	۰,۱۲	۰,۱۵	۰,۱۳	۰,۱۵	۰,۱۷	۰,۱۲	۰,۱۶

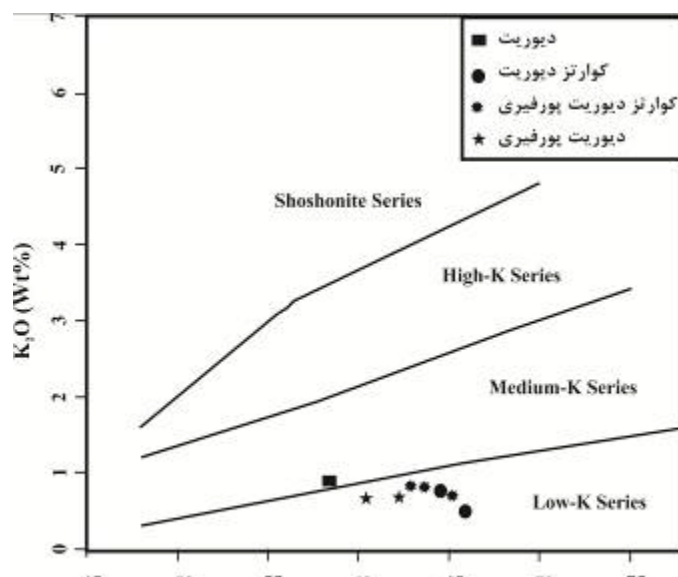
تجزیه شده توسط محمدی [۲۲] از منطقه مورد بررسی.



شکل ۴ جایگاه نمونه‌های کلاته شب در نمودار سیلیس نسبت به اکسیدهای قلیایی (TAS) [۲۳].



شکل ۵ نمودار سیلیس نسبت به اکسیدهای قلیایی برای سنگ‌های کلاته شب [۲۴].

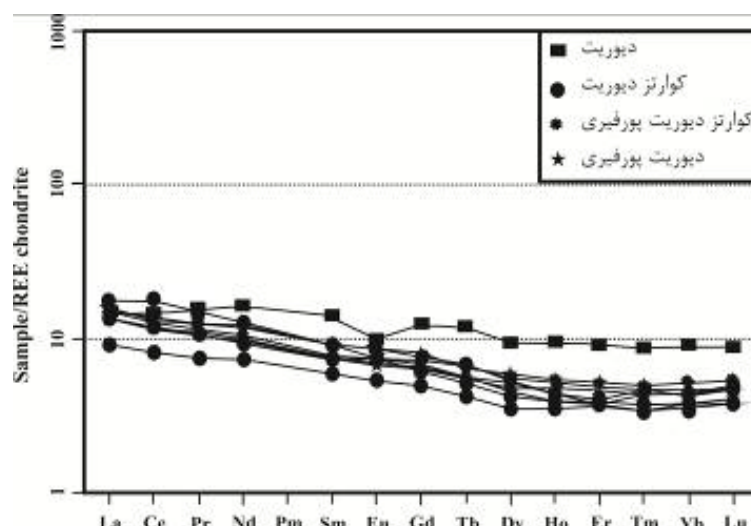
شکل ۶ جایگاه نمونه‌های کلاته شب در نمودار K₂O vs SiO₂ [۲۵].

تبلور جدایشی این کانی است. الگوهای پراکندگی عناصر خاکی نادر در نمونه‌ها به نسبت موازی هستند که نشان دهنده هم خاستگاه بودن همه نمونه‌های است. غنی شدگی LREE نسبت به HREE را می‌توان ناشی از ناسازگارتر بودن LREE نسبت به HREE دانست [۲۸]. عامل موثر دیگر، تشکیل این سنگ‌ها در ارتباط با فروزانش است [۲۹]. همچنین این روند غنی شدگی

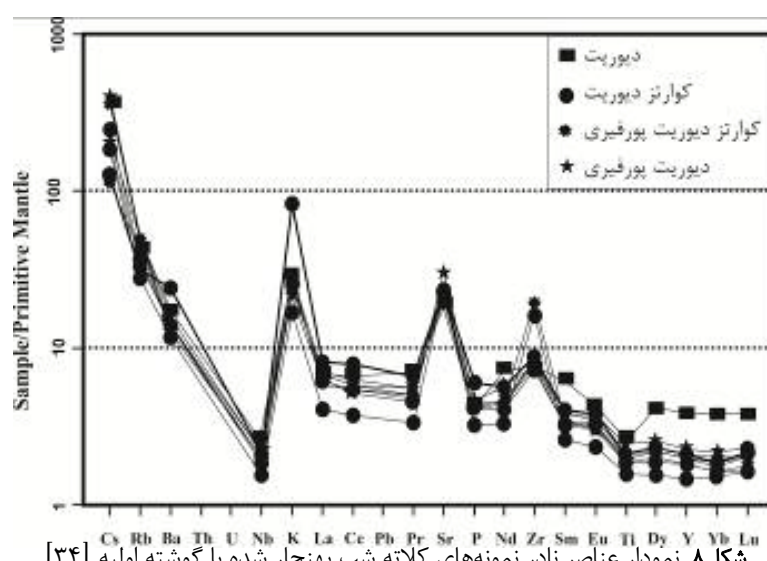
در نمودار عناصر خاکی نادر نمونه‌ها بهنجار شده نسبت به کندریت [۲۶] (شکل ۷)، غنی شدگی نمونه‌ها از عناصر خاکی نادر سبک (LREE) و تهمی شدگی از عناصر خاکی نادر سنگین (HREE) دیده می‌شود. این شبک کم منفی نشانگر جدایش کم ماغمایی و نبود گارنت در فاز باقیمانده است [۲۷]. همچنین عنصر Eu در برخی نمونه‌ها ناهنجاری منفی نشان می‌دهد که به علت حضور پلاژیوکلاز در ناحیه خاستگاه و یا

ها دارند، چون Th، نسبت به عناصر با شدت میدان بالا، (Ti, Nb, Ta, Zr, Y) HFSE گوشه اولیه دیده می‌شود و تفاوت‌های اندک مربوط به تغییر ترکیب کلی سنگ است. غنی شدگی از LILE‌ها نسبت به HFSE‌ها نشان دهنده ماقمای وابسته به مناطق فروزانش است [۳۱-۳۵، ۳۳]. احتمال این که HFSE‌ها در فازهایی مانند روتیل یا ایلمینیت وارد شوند بسیار بوده و نشان دهنده وجود ورقه فروزانه شده است [۳۶]. ناهنجاری منفی فسفر در نمونه‌ها می‌تواند نتیجه جدا شدن آپاتیت از ماقما باشد [۳۷].

در LREE نسبت به HREE مشخصه ماقمای تشکیل شده در منطقه فروزانش است [۳۰-۳۳]. در نمودار عناصر نادر نمونه‌ها بهنجار شده نسبت به گوشه اولیه (شکل ۸)، ناهنجاری منفی P و Ti و Nb باستانگار جایگاه زمین ساختی وابسته به فروزانش و آغشتگی و آمیختگی ماقمایی با پوسته طی صعود است [۳۴]. ناهنجاری مثبت K و Cs رخداد آلدگی ماقما در پوسته بالایی را تایید می‌کند. مقادیر بالای Sr در این نمونه‌ها ناشی از فراوانی پلاژیوکلاز در آن‌هاست. غنی شدگی از عناصر سنگدوست بزرگ یون، (Cs, Ba, Rb, K) و عناصر ناسازگاری که رفتاری شبیه به آن-



شکل ۷ نمودار عناصر خاکی نادر (REE) نمونه‌های کلاته شب بهنجار شده نسبت به کندریت [۲۶].



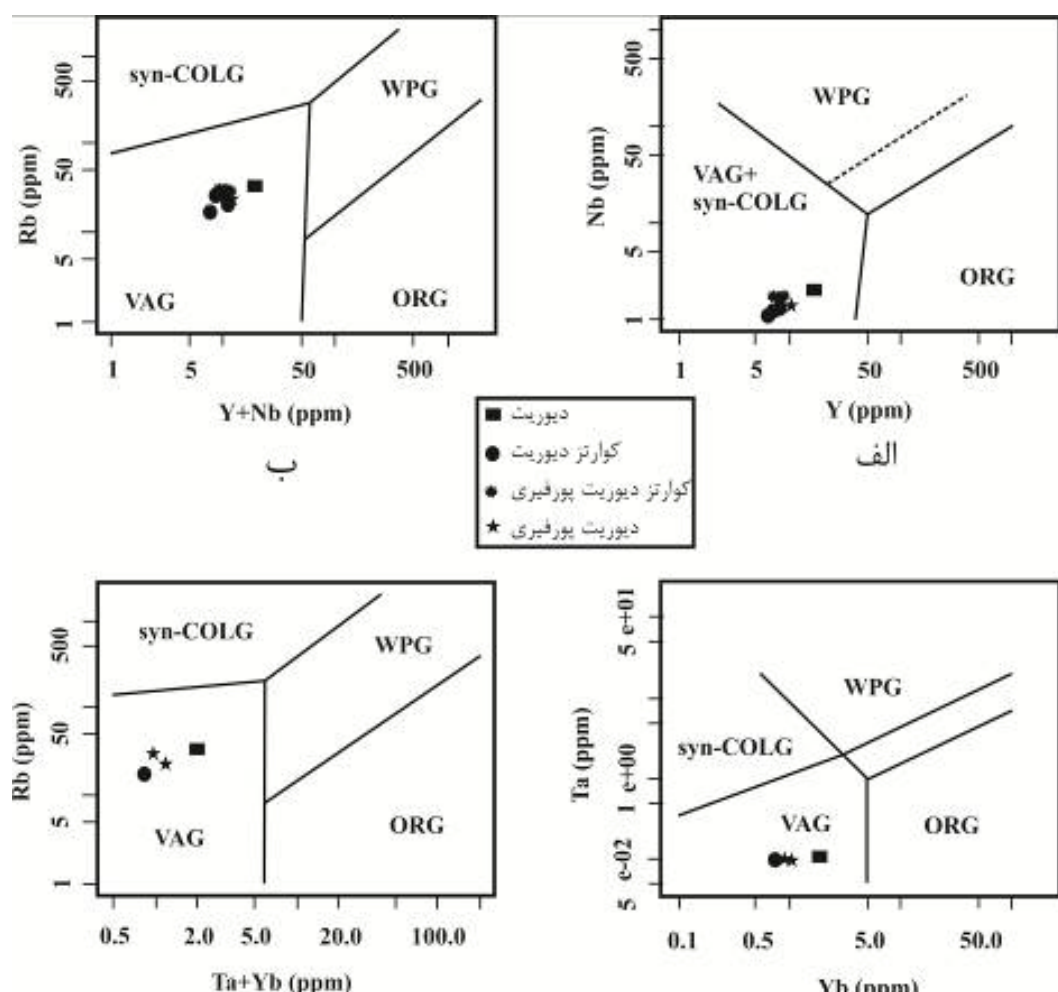
شکل ۸ نمودار عناصر خاکی نادر نمونه‌های کلاته شب بهنجار شده با گوشه اولیه [۳۴].

خاصتگاه و محیط زمین ساختی

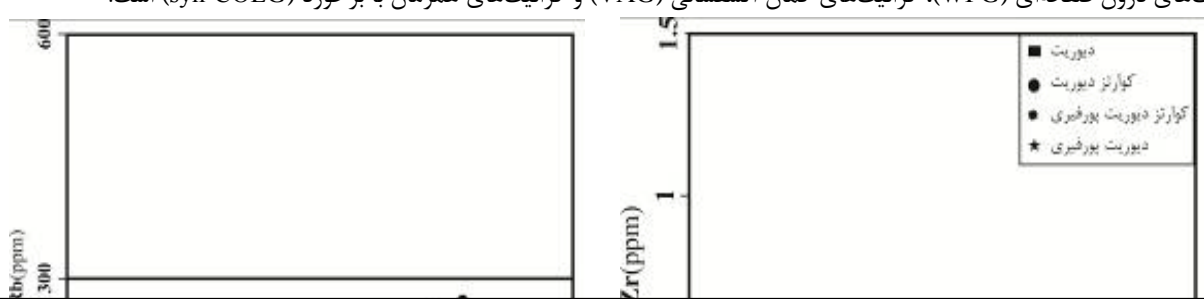
برای مشخص شدن این‌که سنگ‌های عمیق و نیمه عمیق منطقه دچار آلایش پوسته‌ای شده‌اند یا خیر، از نمودارهای دو متغیره و نمودارهای عناصر کمیاب استفاده شد. از آن‌جا که این عناصر (K, Rb و Zr) عناصری ناسازگار هستند و نمی‌توانند در ساختار مجموعه درشت بلورهایی چون پلاژیوکلاز، پیروکسن و کانی‌های کدر قرار گیرند، نسبت‌های K/Rb و Rb/Zr طی تبلور جدایشی بدون تغییر می‌مانند و اگر تغییراتی در این نسبت‌ها دیده شود، می‌تواند نشانه‌ای از آلایش پوسته‌ای باشد [۴۰]. در سنگ‌های آذرین عمیق و نیمه‌عمیق منطقه مورد بررسی، این نسبت‌ها در تغییر هستند که نشان دهنده نقش آلودگی پوسته‌ای در آن‌هاست (شکل ۱۰).

افزایش نسبت LREE به HREE از نشانه‌های مناطق فروزانش است. ناهنجاری منفی P, Ti و Nb نشانگر شکل گیری سنگ‌ها در منطقه فروزانش است.

نمودارهای پیرس و همکاران [۳۸] بر اساس Nb نسبت به Y, $Y+Nb$ نسبت به Ta و Rb نسبت به Yb و Rb نسبت به $Ta+Yb$ به سه گستره تقسیم می‌شوند که در آن‌ها گرانیت‌های اقیانوسی (ORG)، گرانیت‌های درون صفحه‌ای (WPG) و گرانیت‌های کمان آتشفسانی (VAG) همراه با گرانیت‌های همزمان با برخورد (syn-COLG) قرار می‌گیرند (شکل ۹). بر اساس این نمودارها سنگ‌های عمیق و نیمه‌عمیق شمال کلاته شب گرانیت‌های کمان آتشفسانی با ترکیب آهکی قلیایی هستند [۳۹].



شکل ۹ جایگاه سنگ‌های عمیق و نیمه‌عمیق شمال کلاته شب در نمودارهای تفکیک کننده گرانیت‌ها [۲۸] گرانیت‌های اقیانوسی (ORG)، گرانیت‌های درون صفحه‌ای (WPG)، گرانیت‌های کمان آتشفسانی (VAG) و گرانیت‌های همزمان با برخورد (syn-COLG) است.



شکل ۱۰ جایگاه نمونه‌های کلاته شب در نمودارهای $K/Rb-SiO_2$ و $Rb/Zr-SiO_2$. [۴۰]

در شرق رابر واقع در کمربند آتشفسانی ارومیه- دختر، حرکت مخزن و بهم خوردن آرامش ماگمایی در این توده پس از دوران آرام ماگمایی عامل پیدایش دو نوع بیگانه سنگ هم خاستگاه بوده است [۴۲]. بیگانه سنگ‌های منطقه شامل انواع آمفیبولیتی و اتوپیت با ترکیب دیوریت هستند. اتوپیتها زاویه‌دار و دارای مرزهای مشخص هستند (شکل ۱۱).

بیگانه سنگ

برای توصیف قطعه‌های سنگی بیگانه در سنگ‌های آذرین همگن، از واژه بیگانه سنگ استفاده می‌شود. بیگانه سنگ‌ها از چند ریزن تا چند هزار متر می‌توانند به طور کامل توسط سنگ میزان احاطه شده باشند. آنها اغلب از مجموعه‌ای از کانی‌های مختلف و گاهی فقط از یک کانی ساخته شده‌اند [۴۱]. بیگانه سنگ‌ها (اتوپیت) به دلیل تفاوت رنگ و جنس از سنگ میزان قابل تفکیک هستند (شکل ۱۱).



شکل ۱۱ قطعه‌های دیوریتی درون واحدهای کوارتز دیوریت (الف) و کوارتز دیوریت پورفیری (ب) در قسمت جنوبی توده‌های شمال کلاته شب.

گستره دیوریت و کوارتز دیوریت قرار دارند. سنگ‌های منطقه در گستره پتابسیم پایین و آهکی قلیایی هستند. روند غنی شدگی از LREE نسبت به HREE مشخصه

برداشت با توجه به ویژگی‌های سنگنگاری و زمین شیمی، سنگ‌های عمیق و نیمه‌عمیق منطقه شمال کلاته شب در

- [9] Biabangard H., Fatameian M., Moridi A.A., Bakhshi Mohabi M.R., "Petrography, geochemistry and tectono-magmatic setting of the dykes of the north and the west of Zahedan (Southeast Iran)", Iranian Journal of Petrology, V. 8, N. 31, (2017), 147-164, (in Persian).
- [10] Mazhari M.S., Mazaheri S.A., Saadat S., Homam S.M., "Mineralogical and Geochemistry of intrusive rocks south of Moein Abad (East Iran, Zirkouh Qaen)", Iranian Journal of Crystallography and Mineralogy 26 (1) (2018) 149-160, (in Persian).
- [11] Calzolari G., Della Seta M., Rossetti F., Nozaem R., Vignaroli G., Cosentino D., Faccenna C., "Geomorphic signal of active faulting at the northern edge of Lut Block: Insights on the kinematic scenario of Central Iran", Tectonics, N.35 (2016), p.76-102.
- [12] Zarrinkoub M. H., Ketabi P., Shiva M., Askari M., "Mineralogy of Haj-Elyas iron deposit, northwest of Nehbandan, East of Iran", Iranian Journal of Crystallography and Mineralogy 19 (1) (2011) 73-82, (in Persian).
- [13] Nakhaei M., Mazaheri S.A., Karimpour M.h., Stern C.R., Zarrinkoub M.H., Mohammadi S.S., Heydariyan M.R., "Geochronologic,geochemical and isotopic constraints on petrogenesis of dioritic rocks associated with Fe skarn in Bisheh area,Eastern Iran", Arab J. Geosci., (2015) DOI 10.1007/s2517-015-1183-3.
- [14] Shokouhimoghadam N., "Study of Petrography and Sedimentary Environment of Paleocene-Eocene Carbonate Units in Kalate Shir and Kafaz (Southeast Birjand, Eastern Iran)", Master's Thesis, University of Birjand, (2011), 124p (in Persian with English abstract).
- [15] Yari F., "Petrography and geochemistry of subvolcanic rocks related to skarn in north Kalate Shab area (North of Doroh, east of southern Khorasan province)", Master's Thesis, University of Birjand, (2014), 124p (in Persian with English abstract).
- [16] Yari F., Zarrinkoub M.H., Mohammadi S.S., "Skarnification in north Kalate Shab area (North of Doroh, Eastern Sarbisheh)", 2nd National Conference of Geology and Exploration of Resources, Shiraz, (2016) (in Persian with English abstract).
- [17] Tusdal R.M., Munizaga F., Williams W.C., Bettencourt J.S., "Middle Proterozoic crystalline basement in the Central Andes. Western Bolivia and Northern Chile: a U-Pb and Pb isotopic

ماگمای تشکیل شده در منطقه فرورانش است. ناهنجاری منفی عناصر P, Ti و Nb, و ناهنجاری مثبت K و Cs در این نمونه‌ها بیانگر تشابه آن‌ها با فعالیت مagmaی کمان‌های آتشفتانی وابسته به فرورانش است.

مراجع

- [1] Guillou Y., Maurizot P., Villeon H. de la, "Mahrud geological map, Geological map of Iran, 1:100000 series, Sheet 8154", Geological and mineral survey of Iran" (1981).
- [2] Tirrul R., Bell L. R., Griffis R. J., and Camp V. E., "The Sistan suture zone of eastern Iran G.S.A. Bulletin", vol:84 (1983), p:134-140.
- [3] Zarrinkoub M. H., Khatib M. M., Chung S. L., Mohammadi S. S., "Analysis of Cenozoic magmatism evolution in east of Iran(Nourth part od Sistan suture zone)", University of Birjand, Research and Technology affairs, Birjand, Iran, (2012), (in Persian).
- [4] Bonnet G., Agard P., Angiboust S., Monie P., Jentzer M., Omrani J., Whitechurch H., Fournier M., "Tectonic slicing and mixing processes along the subduction interface: The Sistan example (Eastern Iran)", Lithos, N.310- 311 (2018), p.269-287.
- [5] Pang K. N., Chung S. L., Zarrinkoub M. H., Khatib M. M., Mohammadi S. S., Chiu H. Y., Chu C. H., Lee H. Y., Lo C. H., "Eocene– Oligocene post- collisional magmatism in the Lut– Sistan region, eastern Iran: Magma genesis and tectonic implications", Lithos, N.180- 181 (2013), p.234-251.
- [6] Kurzawa T., Brocker M., Fotoohi Rad G.R., Berndt J., Lisker F., "Cretaceous high-pressure metamorphism and low pressure overprint in the Sistan Suture Zone, eastern Iran: Additional temperature estimates for eclogites, geological significance of U-Pb zircon ages and Rb-Sr constraints on the timing of exhumation", Journal of Asian Earth Sciences, N.147 (2017), p.332-344.
- [7] Biabangard H., Noori Sh., "Petrology, geochemistry and origin of Gapdan Granites (South east of Zahadan)", Iranian Journal of Petrology, V. 9 , N. 34, (2018), 59-80, (in Persian).
- [8] Verdel C., Wernicke B.P., Ramezani J., Hassanzadeh J., Renne P.R. and Spell T.L., "Geology and thermochronology of Tertiary Cordilleran-style metamorphic core complexes in the Saghand region of central Iran". Geological Society of America Bulletin, 119(8) (2007), 961-977.

- [33] Pearce J.A., "Role of the sub-continental lithosphere in magma genesis at active continental margins", In: Hawkesworth C.J., Norry M.J. (Eds.), Continental Basalt and Mantle Xenoliths, Shiva, Nantwich, (1983), 230-249.
- [34] Sun S.S., McDonough W.F., "Chemical and isotopic systematics of oceanic basalts; implications for mantle composition and processes. In: *Magmatism in the ocean basins*". Saunders. A. D., and Norry. M. J., (Editors), Geological Society of London, London. 42:(1989), 313-345.
- [35] Pearce J.A., Harris N.B.W., Tindle A.G., "Trace element discrimination diagrams for the tectonic interpretation of granitic rocks", Journal of Petrology 25 (1984), 956-983.
- [36] Ryerson F.J., Watson E.B., "Rutile saturation in magmas: implications for Ti-Nb-Ta depletion in island-arc basalts", Earth and planetary Science Letters 86, (1987), p:225-239.
- [37] Wu F.Y., Jahn B.M., Wilde S.A., Lo C.H., Yui T.F., Lin Q., Ge W.C., Sun D.Y., "Highly fractionated I-type granites in China (I): geochronology and petrogenesis", Lithos 66, (2003), p: 241-273.
- [38] Pearce J.A., Harris N.B.W., Tindl A.G., "Trace element discrimination diagrams for the tectonic interpretation of granitic rocks", Jour. Petro., 25, (1984), 956-983.
- [39] Peacock M.A., *Classification of igneous rock series*, Journal of Geology, 39, (1931), 54-67.
- [40] Davidson J. P., Ferguson K. M., Colucci M. T., Dungan M. A., "The origin of magmas from the San Pedro-Pellado volcanic Dokhan volcanics complex, S. Chile: multicomponent sources and open system evolution", Contribution Mineralogy Petrology, (1986), p: 100-429.
- [41] Didier J, Barbarin B., Enclaves and granite petrology, developments in petrology 13. Elsevier, Amsterdam Gourgaud A., Vincent P.M., 2003, "Petrology of two continental alkaline intraplate series at Emi Koussi Volcano, Tibesti, Chad", J. volcan. Geo. Res. 129, (1991), 261-272.
- [42] Rastakhiz M., Arvin M., "Petrography and origin of the anclaves in porphyry diorite, east Rober, 7th Symposium of Geological Society of Iran", Esfahan, Geological Society of Iran, University of Esfahan, (2003) (in Persian).
- perspective. 7o Congreso Geologico Chileno", Concepcion, Actas, II, (1994), 1464-1467.
- [18] Hall. A., Igneous petrology (2nd ed) Longman New York, (1996), 537p.
- [19] Vernon Ron H., "A Practical Guide to Rock Microstructure", Cambridge University Press, (2004), 594 p.
- [20] Midelmost E. A. K., "Magma and magmatic rocks: An Introduction to igneous petrology", Longman Group U. K., (1985), 73-86p.
- [21] Whitney D.L., Evans B.W., "Abbreviations for names of rock-forming minerals", American Mineralogist, V:95, (2010), p:185-187.
- [22] Mohammadi A., "Petrography and geochemistry of volcanic and subvolcanic rocks Gazak area (East of Birjand)", Master's Thesis, University of Birjand, (2014), 124p (in Persian).
- [23] Cox K.G., Bell J.D., & Pankhurst R.J., "The Interpretation of Igneous Rocks", George Allen & Unwin (1979).
- [24] Irvine T.N., Baragar W.R.A., "A guide to the chemical classification of the common volcanic rocks", Canadian Journal of Earth Sciences 8, (1971), 523-548.
- [25] Peccerillo A., Taylor S.R., "Geochemistry of Eocene calc-alkaline volcanic rocks from the Kastamonu area, Northern Turkey", Contributions to Mineralogy and Petrology 58, (1976), 63-81.
- [26] Boynton W.V., "Geochemistry of the rare earth elements: meteorite studies. In: HENDERSON, P. (ed), Rare Earth Element Geochemistry", Elsevier, (1984), 63-114.
- [27] Mattsson H.B., Oskarsson N., "Petrogenesis of alkaline basalts of the tip of a propagating rift: evidence from the Heimaey volcanic center, south Iceland", Journal of Volcanology and Geothermal Research, (2005), 147: 254-267.
- [28] Krauskopf K.P., Bird D.K., "Introduction to Geochemistry", McGraw Hill, (1976), 788P.
- [29] Winter J.D., "An Introduction to Igneous and Metamorphic Petrology", Prentice Hall, (2001), 697p.
- [30] Rollinson H., "Using geochemical data, Evaluation, Presentation, Interpretation", Harlow, UK, Longman, (1993), 352 p.
- [31] Gill J.B., "Orogenic Andesites and Plate Tectonics", Springer, New York, (1981).
- [32] Wilson M., "Igneous Petrogenesis", Unwin Hyman, London, (1989).